

図1 観測場所（国道274号線、日勝峠、165キロポスト付近）

た。一方、透過型視程計と照度計はデータロガーを用いた。測定開始時に両者の時刻を合わせることから両者の同期を実現した。図2は、1998年8月4日12時30分前後における背景輝度・灯器輝度・照度・透過率の変化を記録した例である。透過率が低いとき、灯器輝度と背景輝度の差が小さくなっていることが分かる。透過率が高くなるに従って、灯器輝度と照度は高くなった。一方、背景輝度は同じような値となった。

### 3. 測定結果

#### (1) 霧の発生頻度（透過率）

表1は、1週間において観測された霧の透過率の構成を昼間と夜間に分けて集計した結果である。今後示す透過率は、全て観測距離30.0mのときの値である。昼間のデータは、全ての測定データから照度100lx以上を条件として選択した。総データ数は、4427個であった。また、夜間は午後2時30分から午前2時30分とし、ワイパーによる影響と思われるデータを除いた。総データ数は、1721個となった。昼間のデータについては、透過率と照度のレンジを決めて頻度分布を求めた。透過率0.2以下の頻度が夜間において7.8%、昼間において9.2%あった。昼間の霧発生時の照度領域(1000lx～10000lx)において、低透過率から高透過率のデータが存在しており、観測条件として網羅的なデータ構成と言えた。

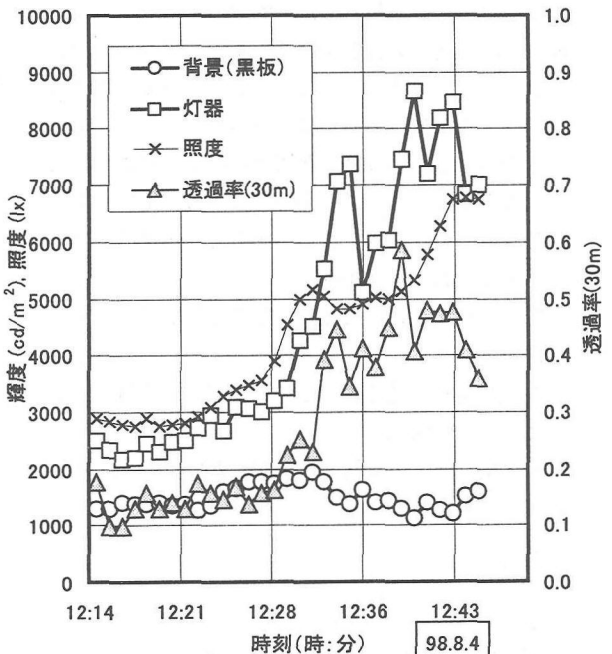


図2 観測データの一例 (98.8.4)

#### (2) 背景輝度と照度と透過率

##### (a) 夜間

夜間の背景輝度値は、どの透過率においてもほぼ一定となり、その平均値は0.4cd/m²であった。透過率0.7から0.8のとき0.4cd/m²よりも明るい輝度値となった。2.5m横で発光している灯器の散乱光による影響と言えよう。

### (b) 昼間

昼間の背景輝度は、透過率が小さくなるにつれて輝度の上昇がする一方、照度が明るくなるに従って明るくなる傾向を示した。このような、背景輝度と透過率及び照度との関係を重回帰式によってモデル化した。表2に回帰結果を示す。時刻は太陽の位置を代替する変数として用いた。説明変数のt値はいずれも大きく要因として用いることが可能であった。重回帰係数は0.952であり、説明力の高いモデルと言えた。推定結果と測定結果の関係は、歪みがなく誤差が中央の直線を境にほぼ左右均等に散らばった状況となった。

### (3) 視線誘導灯の輝度

#### (a) 夜間

夜間における視線誘導灯の輝度は、透過率の低下に伴って直線的に低下したが、若干の偏りが見られた。そこで、透過率と灯器輝度の関係を3次式によって回帰した。回帰の結果を表2に示す。回帰式による推定輝度と観測輝度の関係は、直線となった。

#### (b) 昼間

昼間の灯器輝度は、霧による透過率の減少と霧そのものの輝度による影響が輻輳するものと考えられる。実際、夜間のように透過率に比例して輝度が低くならない現象が、観測データに見受けられた。昼間において霧が濃くなるにつれ灯器の輝度が低下しない理由として、霧による明るさが灯器自体の明るさに加わるためと考えられる。そこで、昼間の視線誘導灯の輝度は、視線誘導灯の輝度に背景輝度（霧の輝度）が加わったものと仮定し、昼間の灯器の輝度を推定した。以下に推定式を示す。

$$y = (-24135 \times x_3^3 + 35731 \times x_3^2 + 3029.5 \times x_3) + \\ 10(0.199861 - 1.43631 \times x_1 + 0.002169 \times x_2 + 0.898566 \times x_3) \quad (1)$$

$y$ : 昼間の灯器輝度、 $x_1$ : 時刻、 $x_2$ : 照度、 $x_3$ : 透過率  
灯器自体の輝度は、夜間における透過率と輝度の関係を用いた。照度が全くない状況における灯器のみの輝度である。霧の輝度は、昼間の背景輝度を用いた。背景輝度を求めた背景と灯器の背景は異なる反射率を持っているかもしれないが、その差は小さいと仮定した。図3は、推定値と測定値の関係を示している。誤差の分布もほぼ均等であり、歪みのない関係となった。

表2 夜間の灯器輝度と昼間の背景輝度の回帰結果

#### 夜間の灯器輝度の回帰式(相関係数:0.952)

$$y = -24135 \times x_3^3 + 35731 \times x_3^2 + 3029.5 \times x_3$$

$y$ : 輝度(cd/m<sup>2</sup>)、 $x_3$ : 透過率(30m)

#### 昼間の背景(黒板)輝度の重回帰式(重相関係数:0.952)

$$y = 0.199861 - 1.43631 \times x_1 + 0.002169 \times x_2 + 0.898566 \times x_3$$

$y$ : 輝度(log, cd/m<sup>2</sup>)、 $x_1$ : 照度(log, lx)、 $x_2$ : 照度(log, lx)、 $x_3$ : 透過率(30m)

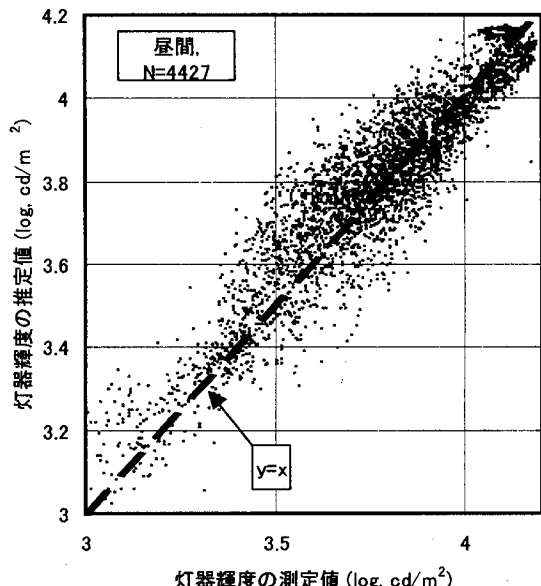


図3 昼間の灯器輝度の測定値と推定値の関係

## 4. 昼間の霧における灯器の視認性シミュレーション

### (1) Visibility Level (VL)による灯器の視認性評価

昼間の霧における背景輝度と灯器輝度をこれまでの結果から、照度・視程・観測距離を変えてシミュレーションした。シミュレーション時刻は、13時とした。霧を表す指標としてシミュレーションでは、透過率の替わりとして視程を用いた。シミュレーション結果から、灯器のコントラストを求めた。また、背景輝度を順応輝度とみなし、Blackwell の限界コントラスト<sup>2)</sup>を求める、視認性を評価する指標として(2)式から Visibility Level (VL)を求めた。

$$VL = \text{灯器のコントラスト} / \text{限界コントラスト} \quad (2)$$

VLは順応輝度のファクタを含むことから、視認性評価時にコントラストよりも変数を一つ減らせるメリットがある。

